



ISSN 0250-3301 CODEN HCKHDV HUANJING KEXUE

- 主办 中国科学院生态环境研究中心
- ■出版科学出版社



**2019** Vol.40 No.1 第40卷 第1期

第1期 第 40 卷 2019年1月15日

#### 次

```
草海典型高原湿地食物链中汞同位素组成特征 许议元,何天容(461) Cd、Zn 交互作用对三七景天根系形态和重金属吸收积累的影响 "粮食,杨俊兴,杨军,陈同斌,李厚思,徐铁兵,周小勇,叶勇,于豹(470) 不同浓度镧处理对铅胁迫下玉米生长和铅吸收的影响 王起凡,郭伟,常青,潘亮,周昕南,杨亮,李娥(480) 广西龙江鱼类镉含量分布特征及生物积累特性分析 "王俊能,赵学敏,胡国成,钟松雄,姚玲爱,马千里,许振成(488) 6种消解方法对荧光测定生物体内聚苯乙烯微塑料的影响 "邹亚丹,徐攀攀,张哿,李富云,李锋民(496) 一种负载功能型微生物的营养缓释填料的制备及性能评价 "冯克,徐升华,成卓韦,於建明,陈建孟(504) 《环境科学》征订启事(113) 《环境科学》征稿简则(238) 信息(93,262,342)
```



# 不同外电压下自养型生物阴极还原硫酸盐的性能及生物膜群落响应

胡佳萍,曾翠平,骆海萍\*,刘广立,张仁铎,卢耀斌

(中山大学环境科学与工程学院,广东省环境污染控制与修复技术重点实验室,广州 510275)

摘要: 微生物电解系统 (microbial electrolysis system, MES) 生物阴极还原去除环境污染物的过程中,外加电压的大小可显著影响其性能,阴极生物膜作为去除污染物的关键因子,其对外电压改变的响应尚属未知. 本研究构建了双室 MES,比较外电压为  $0.4 \times 0.5 \times 0.6 \times 0.7$  和 0.8 V 情形下自养型生物阴极的硫酸盐还原特性及生物膜胞外聚合物和群落结构特征. 结果表明,MES 的输出电流、周期电荷量、COD 去除量与外加电压( $0.4 \times 0.8$  V) 呈正相关关系;外加电压为  $0.4 \times 0.8$  V 时,硫酸盐还原量随着电压的升高先升高后降低,在 0.7 V 时获得最大硫酸盐还原速率[78.9 g·( $m^3$ ·d) $^{-1}$ ] 和最高  $S^2$  出水浓度 (31.9 mg·L $^{-1}$  ± 2.2 mg·L $^{-1}$ );MES 的电子回收率最高值为 41.8%,推测产氢可能是电子损失的一个途径. 阴极生物膜的聚多糖和蛋白量随外电压的升高而增加,0.8 V 电压下的生物量比 0.4 V 提高了 70%. 阴极生物膜群落结构分析发现,Proteobacteria 在门水平分布中占主导,Desulfovibrio 在属水平分布中占主导,Desulfovibrio 的相对丰度并未随着外加电压的升高发生明显的波动,表明 Desulfovibrio 在利用阴极呼吸代谢方面具有独特的优势. 种水平分析发现,Desulfovibrio magneticus RS-1 和 s\_unclassified\_g\_Desulfovibrio 随着外电压的改变呈现相反的变化趋势.

关键词:微生物电解系统(MES);自养生物阴极;硫酸盐还原;外加电压;阴极微生物群落中图分类号:X703.1 文献标识码:A 文章编号:0250-3301(2019)01-0327-09 **DOI**: 10.13227/j.hjkx.201806171

## Sulfate Reduction and Microbial Community of Autotrophic Biocathode in Response to Externally Applied Voltage

HU Jia-ping, ZENG Cui-ping, LUO Hai-ping\*, LIU Guang-li, ZHANG Ren-duo, LU Yao-bin

(Guangdong Provincial Key Laboratory of Environmental Pollution Control and Remediation Technology, School of Environmental Science and Engineering, Sun Yat-sen University, Guangzhou 510275, China)

Abstract: The removal efficiencies of environmental pollutants in a microbial electrolysis system (MES) with a biocathode are highly affected by the externally applied voltage. Although the cathode biofilm plays a key role in the pollution removal, its response to the applied voltage is still unknown. A two-chambered MES with a biocathode was constructed to study the impact of the different applied voltages (0.4, 0.5, 0.6, 0.7, and 0.8 V) on the sulfate reduction, extracellular polymer formation, and cathodic bacterial community. The results show that the current output and coulomb and COD removals of the MES are positively correlated with the applied voltage ranging from 0.4 to 0.8 V. The sulfate reduction rate first increases and then decreases with increasing voltage in the MES. The maximum sulfate reductive rate [78.9 g·(m³·d)⁻¹] and maximum S²⁻ production (31.9 mg·L⁻¹ ±2.2 mg·L⁻¹) were achieved at 0.7 V. The highest electron recovery efficiencies of the MES are 41.8%; hydrogen production may be a pathway leading to electron loss. The polysaccharide and protein contents of the cathode biofilm increase with increasing voltage. The cathode biomass at 0.8 V is 70% higher than that at 0.4 V. The high throughput sequencing results show that Proteobacteria and Dsulfovibrio are dominant in the cathodic microbial community at the phylum and genus levels, respectively. The relative abundance of Desulfovibrio shows little variation with the increasing voltage, indicating that Desulfovibrio is of advantage for using the cathode as electron donor for the respiratory metabolism. With the increasing voltage, the distribution of Desulfovibrio at species level indicates that the changes of Desulfovibriox magneticus RS-1 and s\_unclassified\_g\_Desulfovibrio are contrary.

**Key words:** microbial electrolysis system (MES); autotrophic biocathode; sulfate reduction; applied voltage; cathodic bacterial community

制药、造纸、采矿等工业所排放的富硫酸盐废水对会对环境和人体健康造成极大危害. 传统的物理化学处理方法如化学沉淀、离子交换和液膜分离等技术成本较高[1]. 由于富硫酸盐废水中一般缺乏有机物,因而,基于自养型硫酸盐还原菌(sulfate-reducing bacteria, SRB)的生物修复技术已引起人们的广泛关注[2~5].

微生物电解系统(microbial electrolysis

system, MES)是近年来发展的一种生物电化学系统,在废水处理以及能源回收等领域具有极大

收稿日期: 2018-06-20; 修订日期: 2018-07-09

基金项目: 广州市科技计划项目"珠江新星"人才专项(201710010031); 广东省自然科学基金项目(2015A030313169, 2015A030313102); 国家自然科学基金项目(51308557, 41471181, 51278500)

作者简介: 胡佳萍(1994~), 女, 硕士研究生, 主要研究方向为水 土环境污染修复, E-mail; jiapinghu5@ foxmail. com

\* 通信作者,E-mail:luohp5@ mail. sysu. edu. cn

的潜能[6]. MES 反应装置均由阴、阳极室组成. 在阳极室,产电微生物以有机物作为电子供体释 放电子至阳极, 电子经外电路传递至(非)生物 阴极. 通过构建生物阴极型 MES, 电化学活性菌 可从阴极间接或直接获取电子实现多种污染物 的还原去除,如SO<sub>4</sub><sup>2</sup>、NO<sub>3</sub>、对氯硝基苯、三氯 乙烯等[7~10]. 由于阴极的受体物质普遍具有较 低的还原电位, 且阴极电极过电位以及欧姆损失 的存在,在 MES 的阴极和阳极之间通常需要施 加低值外电压来促使反应的进行. 目前, 基于双 室 MES 生物阴极还原硫酸盐的研究探究了自养 硫酸盐还原[3,4]、重金属锌与硫酸盐的协同去 除<sup>[7]</sup>,以及单质硫的回收<sup>[5]</sup>等,但多采用 0.8 V 左右的外加电压. 关于外加电压对 MES 的影响, 据报道,外加电压的升高(0.8~1.4 V)可以促 进MES 阳极有机物氧化过程中电子的释 放[11,12]; Coma等[11]研究异养型生物阴极硫酸 盐还原发现, 硫酸盐还原速率和能耗均随着电压 的升高(0.7~1.4 V)而升高;亦有研究表明提 高外加电压(0~2.0 V)或电场(0~3.5 mA)可 以促进生物膜胞外聚合物的分泌,但高于0.8 V 或 1.5 mA 时则会抑制阴极微生物的生长代 谢[13,14]. 可见, 外加电压的大小可显著影响 MES 的运行性能,然而,阴极生物膜作为去除污 染物的关键因子, 其对外电压改变的响应尚属 未知.

本研究通过构建双室 MES, 探究外电压为 0.4、0.5、0.6、0.7 和 0.8 V 情形下自养生物阴极 还原硫酸盐的性能,同时,探讨不同外加电压下阴极生物膜的胞外聚合物及群落响应,这对生物阴极型 MES 在低能耗条件下实现硫酸盐废水的自养还原及机制研究有着重要的意义.

#### 1 材料与方法

#### 1.1 自养 SRB 混合菌群的富集

珠江底泥(23°06′N, 113°17′E)作为接种源,位于广东省广州市滨江东路中山大学北门. 配置  $0.72~g\cdot L^{-1}$  硫酸盐基质(约 500  $mg\cdot L^{-1}~SO_4^{2-}$ ),使 用  $1~mol\cdot L^{-1}~H_3PO_4$  调节 pH 至 6.0 用于驯化自养型  $SRB^{[15]}$ . 将珠江底泥与硫酸盐基质接种至 100~mL 厌氧瓶中,并在顶空通人 2~min 混合气[ $H_2$ - $CO_2$ (80:20)]用作 SRB 生长代谢所需的碳源和氢源,同时驱赶瓶中残留的氧气<sup>[3]</sup>. 将厌氧瓶置于恒温振荡器(30°C,  $160~r\cdot min^{-1}$ ),4~d 一个周期,进行长期培养富集. 定时监测厌氧瓶中  $SO_4^{2-}$  的浓度,待基质中  $SO_4^{2-}$  的去除率趋于稳定时,即可作为 MES

阴极室的接种液.

#### 1.2 双室 MES 的构建

双室 MES 反应器均由有机玻璃构件通过螺丝组装而成,分为阴、阳极两个室,中间由阳离子交换膜(CEM, Ultrex CMI-7000,美国)隔开.碳纤维编制的碳刷作为阳极电极,使用前需在马弗炉中450℃条件下进行30 min 预热处理,以去除碳刷表面的氧化物<sup>[16]</sup>.石墨碳板作为阴极电极,使用前需进行打磨、切割成长、宽、高各为30、20、2 mm,用酸碱浸泡24 h后,冲洗,浸泡于去离子水中<sup>[17]</sup>.阴、阳两极使用环氧树脂固定,钛丝连接进行电流传输,在外部串联一个10 Ω 电阻用于采集电流信息,插入电极后每个反应室的有效容积为30 mL,具体装置如图1所示.

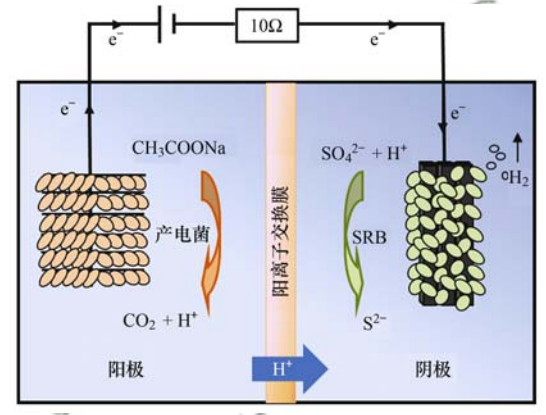


图 1 MES 生物阴极还原硫酸盐原理示意

Fig. 1 Schematic diagram of the sulfate-reducing biocathode MES

#### 1.3 MES 启动与运行

大坦沙污水处理厂位于广东省广州市荔湾区 (23°07′N, 113°12′E),将其二沉池出水和1 g·L<sup>-1</sup> 乙酸钠基质(COD 浓度约为 780 mg·L<sup>-1</sup>) 按 50% 的 体积比接种至 MES 阳极室, 用于富集阳极产电微 生物[3]. 将厌氧瓶中预先富集的 SRB 菌液与硫酸 盐基质按50%的体积比接种至阴极室,以48 h为 一个周期放置于生化培养箱(LRH-150B,中国) 30℃条件下培养. MES 反应器先在恒定电压 0.8 V (IT6720, 美国)条件下驯化 10 d, 阴极室通入 1 min 混合气[H<sub>2</sub>-CO<sub>2</sub>(80:20)]用于加速阴极生物膜 的形成. 随后, 撤去混合气并将外电压降低, 在 0.4、0.5、0.6、0.7和0.8 V 电压下进行批次培养. MES 反应器运行稳定时,选择数据和趋势较平行的 3个批次进行平均值和方差分析. 使用多通路电压 数据采集器(Integra 2700,美国)采集反应器定值电 阻两端实时电压数据(每隔 15 min 自动采集). 饱 和甘汞电极(0.242 V vs. SHE, 雷磁 232 型, 中国) 被插入阳极室与阴极室用于观测不同外电压下电势 的变化.

#### 1.4 检测与计算分析

阴极室进出水  $SO_4^{2-}$  与  $S^{2-}$  分别使用硫酸钡比浊法与亚甲蓝分光光度法进行监测;阳极室进出水 COD 变化使用重铬酸钾分光光度法进行监测.收集阴极室的气体,使用气相色谱仪(岛津 GC-2014,日本)分析  $H_2$  的含量.根据电压数据采集器采集的MES 两端电压值 U 计算电流 I=U/(R),将电流对运行时间(t, s) 积分按公式(1) 计算得到 MES 体系的周期电荷量 Q(C),并根据公式(2) 计算得到电流密度曲线  $I_V(A \cdot m^{-3})$ .

$$Q = \int_0^t I \mathrm{d}t \tag{1}$$

$$I_{\rm V} = U/(RV_{\rm Ca}) \tag{2}$$

式中, R 为定值电阻( $\Omega$ ),  $V_{Ca}$ 为 MES 阴极室容积( $m^3$ )

根据出水  $SO_4^{2-}$  的浓度获得 MES 生物阴极还原 硫酸盐的量(mol),按公式(3)计算得出该体系用于还原  $SO_4^{2-}$  的电子回收率  $C_F(\%)$ .

$$C_{\rm E} = \frac{8\Delta nF}{Q} \tag{3}$$

式中,8 为将硫酸根还原为硫化物所需的电子数目, $\Delta n$  为引进去除的硫酸根物质的量(mol),F 为法拉第常数(96 485  $C \cdot mol^{-1}$ ),Q 为周期电荷量(C).

阴极聚多糖与蛋白量分别使用苯酚-硫酸分光 光度法和考马斯亮蓝法进行测定,用无菌刀片切割 5 mm×5 mm的阴极碳板,测试前将样品置于3 mL 0.2 mol·L<sup>-1</sup> NaOH 剧烈振荡促使附着在阴极上的 生物膜分散至溶液中,然后用3 mL去离子水冲洗, 将两者混合所得的样品用于后续聚多糖及蛋白量的 分析测定<sup>[18,19]</sup>.

采用 SPPSS 19.0 软件进行方差齐同质性检验与单因素方差分析(one-way ANOVA),通过 LSD 和Dunnet T3 检验对不同外电压下 MES 自养型生物阴极还原硫酸盐性能及阴极生物膜聚多糖和蛋白量的数据进行多重比较.首先进行方差齐同质性检验,查看方差齐性检验结果,选择 LSD(方差齐性检验方法,P<0.05 表示差异显著)检验不同外电压对阳极 COD 去除率、硫酸盐去除率、电子回收率、蛋白量和生物量影响的显著性;选择 Dunnet T3(方差不齐检验方法,P<0.05 表示差异显著)检验不同外电压对周期电荷量、硫酸盐还原速率、SO<sub>4</sub><sup>2-</sup>-S<sup>2-</sup>转化效率和聚多糖影响的显著性.

#### 1.5 16S rRNA 基因高通量测序

经 45 d 运行后,将 MES 反应器拆开,使用无菌刀片将阴极生物膜刮落,进行送样测序用于分析

阴极微生物群落的变化. 上机测序前, 根据 E. Z. N. A. ® soil 试剂盒(Omega Bio-tek, Norcross, GA, U.S.)操作手册进行样品总 DNA 抽提, DNA 浓度 和纯度利用 NanoDrop2000 进行检测, 利用 1% 琼脂 糖凝胶电泳检测 DNA 提取质量;使用 338F (ACTCCTACGGGAGGCAGCAG)和806R(GGACTA CHVGGGTWTCTAAT) 引物对 V3-V4 可变区进行扩 增, 随后, 扩增产物在 Illumina MiSeq 测序平台 (Majorbio, 上海, 中国)上建库进行上机测序. 高质 量的序列在97%的相似性下被归类为一个运算分 类单元(OTU),每个OTU里丰度最高的序列被选 取作为代表序列,然后将这些代表序列使用 RDP classifier ( http://rdp. cme. msu. edu/classifier/ classifier. jsp)按70%置信度分类到门和属水平,用 于分析阴极微生物群落的变化,同时使用 Chao1 和 ACE 指标评估物种的丰富度, 以及 Shannon 和 Coverage 指标评估物种的多样性和样品有效序列的 覆盖度[20]. 高通量测序获得的原始序列数被保存 在 NCBI SRA, 登录号为 SRP149289.

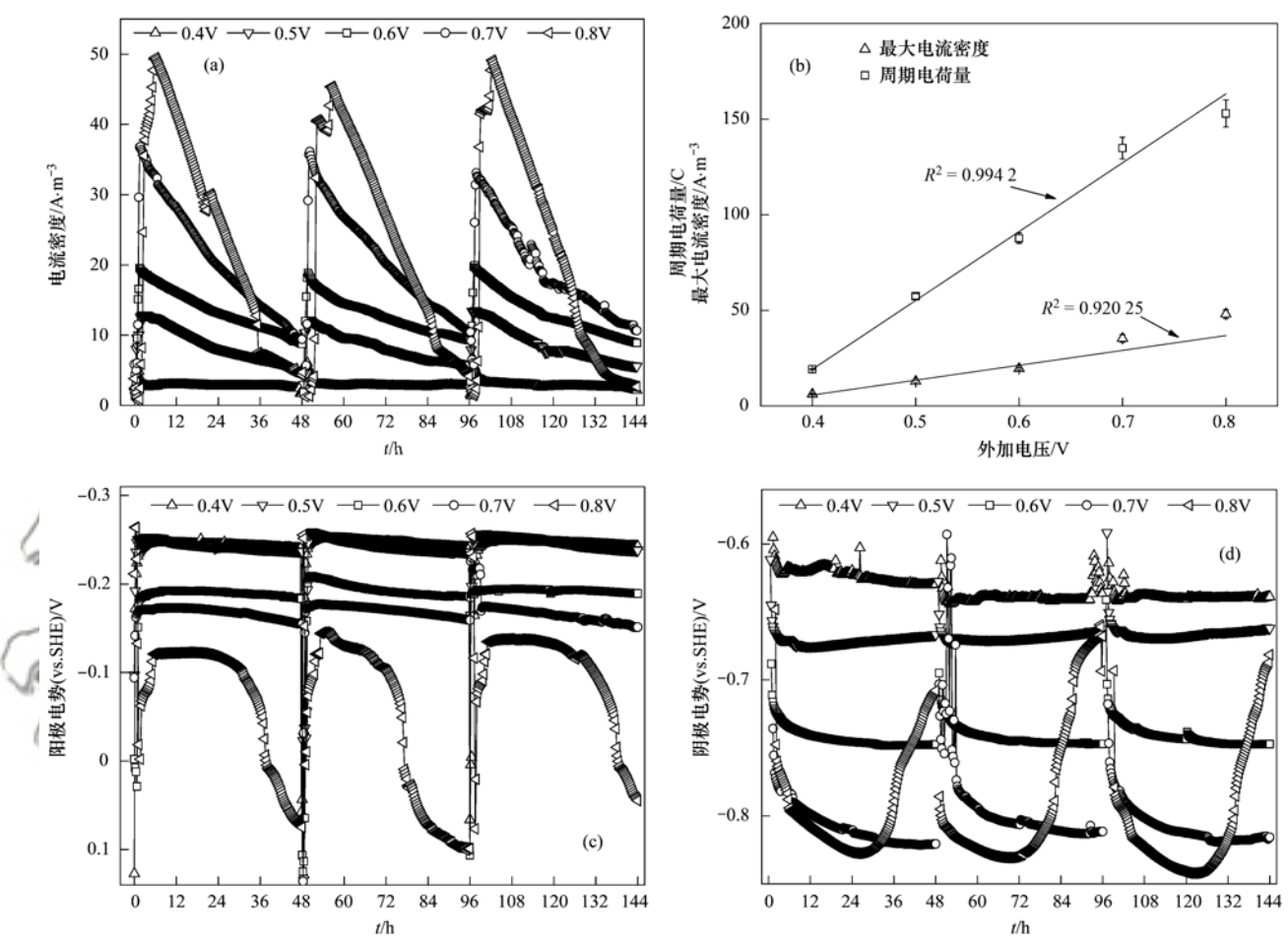
#### 2 结果与讨论

## 2.1 不同外电压下生物阴极型 MES 的产电性能分析

如图 2(a) 所示, 更换基质后, 0.4~0.8 V 电 压下 MES 均在更换基质的 6 h 以内获得最高电流 密度. 随着外加电压的升高, 电流密度也随之升 高,最大值分别可达(6.1 ± 0.3)、(12.8 ± 0.7)、  $(19.4 \pm 0.5)$ ,  $(35.4 \pm 1.9)$   $\pi (48.0 \pm 2.3)$  A·m<sup>-3</sup>. 以48 h 为一个运行周期, 0.8 V 电压下 MES 的周期 电荷量显著高于 0.4 V(P < 0.05), 分别为 152.9 C ±7.1 C 和 19.1 C ±0.2 C. 最大电流密度、周期电 荷量与外电压之间分别呈正相关, 其相关系数分别 为 0.92 和 0.99 [图 2(b)], 此结果与文献 [12]报 道一致. 为进一步探讨外加电压对生物阳极和阴极 的影响,分别监测了两电极电势随时间的变化. 阳 极电势表现出周期平台期,随着外电压的升高,平 台期电势分别为 - 0.24、 - 0.24、 - 0.19、 - 0.16 和 - 0.12 V(vs. SHE) [图 2(c)]. 阳极液 COD 的 监测结果表明, 阳极微生物 COD 去除率随着外加 电压的增加而显著增加(P < 0.05), 在 0.4 < 0.7 和 0.8 V 电压下, COD 平均去除率分别为 17.2%、 34.1%和44.5%,其消耗量分别为130.7、259.0 和 337.8 mg·L<sup>-1</sup>, 这意味着 0.8 V 电压下阳极微生 物具有更高的代谢活性(表1). Logan 等[21] 发现阳 极电势的升高有利于产电微生物氧化有机物释放电 子至电极将化学能转化为电能,从而导致更高的电

流输出. 阴极电势在外电压为 0.4~0.6 V 的范围内变化较平稳,随着外电压升高,电势值分别为 -0.63、-0.66 和 -0.74 V; 0.7 V 和 0.8 V 电压下,阴极电势峰值出现在 -0.84 V 左右[图 2 (d)]. 阴极电势的降低有利于阴极微生物获取能量进行生长代谢,但当阴极电势过低时,微生物所获得的有效能量却会减少<sup>[22,23]</sup>. 0.8 V 和 0.4 V 电压下阳极和阴极电势差值分别为 0.12 V 和 0.20 V,

表明外电压的施加值对阴极电势影响更大. 据报道, 在生物电化学系统中阴极过电位明显高于阳极过电位<sup>[24]</sup>. 电活性微生物可有效降低电极的过电位, 在生物阴极型 MES 中, 阳极表面产电微生物的生物量远大于阴极表面, 如 Xiang 等<sup>[12]</sup>对产乙酸 MES 的研究表明阳极生物量高出阴极生物量约 8倍. 因此, 阳极电势比阴极电势更稳定, 具体的微生物作用机制还需要进一步的研究.



(a) 电流密度曲线; (b) 最大电流密度、周期电荷量与外加电压值之间的相关性分析; (c) 阳极电势; (d) 阴极电势 **图2** 不同外加电压下 MES 的电化学特性

Fig. 2 Electrochemical properties of the MES under different applied voltage

## 2.2 不同外电压下生物阴极型 MES 的污染物去除性能分析

MES 阴极液中  $SO_4^{2-}$  与  $S^{2-}$  浓度随时间的变化如图 3 所示. 各外加电压下, $SO_4^{2-}$  浓度均随着 MES 的运行逐渐降低,伴随着  $S^{2-}$  浓度的逐渐升高,而在非生物阴极条件下阴极室并无硫酸盐去除与硫化物产生 $[^{4,15]}$ ,表明生物还原是  $SO_4^{2-}$  去除的主要途径. 经计算, $0.4 \sim 0.8 \text{ V}$  电压范围内, $SO_4^{2-}$  的平均还原速率分别为 7.9、31.5、48.8、78.9 和 68.0 g· $(m^3 \cdot d)^{-1}$ (表 1). 经单因素方差分析中 Dunnet T3 检验多重比较发现,在 0.05 的显著性水平下,随着外电压的升高 $(0.4 \sim 0.7 \text{ V})$ ,硫酸盐还原速率

显著升高,而当外电压进一步升高时,硫酸盐还原速率并无显著变化,且 0.7 V 电压下的硫酸盐还原速率略高于 0.8 V. 与此同时,出水中  $S^2$  浓度分别增加到  $(4.1\pm0.4)$ 、 $(13.2\pm0.7)$ 、 $(17.9\pm0.9)$ 、 $(31.9\pm2.2)$  和  $(25.1\pm1.4)$  mg·L<sup>-1</sup>. 这些结果表明,外电压为 0.7 V 时 MES 可以获得最大的硫酸盐还原去除,该还原速率与 Hu 等 [15] 报道的 0.8 V 电压下的硫酸盐 还原速率相似 [68.7 g·(m³·d)<sup>-1</sup>]. 根据  $SO_4^2$  的还原量计算得到,0.4、0.5、0.6、0.7 和 0.8 V 电压下的电子回收率分别为 27.6%  $\pm 3.2\%$ 、34.2%  $\pm 1.1\%$ 、35.7%  $\pm 1.5\%$ 、41.8%  $\pm 2.6\%$  和 31.9%  $\pm$ 

3.5%. 经单因素方差分析中 LSD 检验多重比较 发现, 0.5 V 和 0.6 V 电压下的电子回收率显著高 于 0. 4 V, 与 0. 8 V 电压下的电子回收率并无显著 差异,且0.7 V 电压下的电子回收率显著高于0.8 V(P < 0.05), 表明 0.5 ~ 0.7 V 电压范围内的阴 极电子能更有效地被 SRB 获取用于还原硫酸盐. 收集阴极室的气体进行分析, 仅在 0.8 V 电压下 监测到少量 H<sub>2</sub>, 这与 Luo 等<sup>[3]</sup>在不同阴极电势条 件下 MES 阴极室观测到的 H, 变化趋势一致, 由 此推测 0.8 V 电压下 H, 的快速产生和逸出使得 阴极电子未能被 SRB 高效利用, 从而造成相对低 的硫酸盐还原率和电子回收率[10]. 根据化学方程 式(4)计算  $SO_4^{2-}$ - $S^{2-}$ 转换效率(%),即阴极室出 水实际含有的  $S^{2-}$ 与理论上产生的  $S^{2-}$ 之比, 获得 MES 阴极的 SO<sub>4</sub><sup>2</sup>-S<sup>2</sup> 转化率分别为 78.6% (0.4 V) \ 62.8\% (0.5 V) \ 55.2\% (0.6 V) \ 60.6\% (0.7 V)和 55.6% (0.8 V),各电压下  $SO_4^{2-}$ - $S^{2-}$ 转 化率并无显著差异(P<0.05). 从化学方程式(5) 可以看出,可能是因为阴极还原产物在溶液pH 中性条件下会有部分以 H2S 和 HS-形式存

$$SO_4^{2^-} + 8e^- + 8H^+ \longrightarrow S^{2^-} + 4H_2O$$
 (4)  
 $SO_4^{2^-} + 8e^- + 9H^+ / 10H^+ \longrightarrow HS^- / H_2S + 4H_2O$  (5)

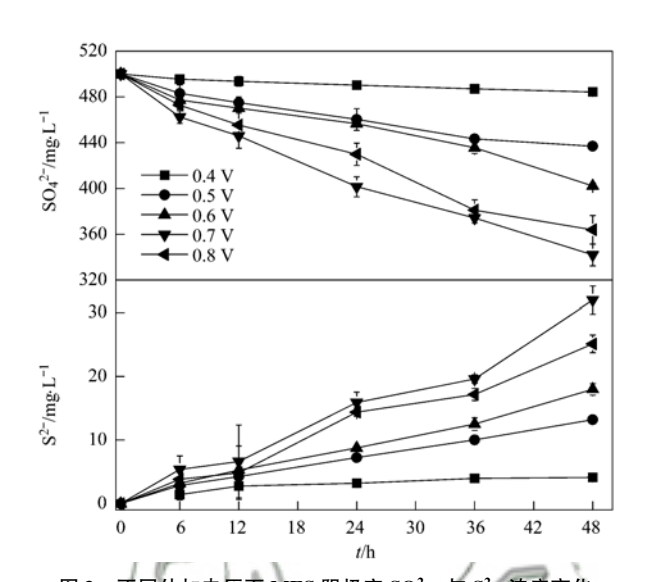


图 3 不同外加电压下 MES 阴极室 SO<sub>4</sub><sup>2-</sup> 与 S<sup>2-</sup>浓度变化 Fig. 3 Concentration of SO<sub>4</sub><sup>2-</sup> and S<sup>2-</sup> in the cathode chamber changing with time under different applied voltage

表 1 生物阴极型 MES 在不同电压下的硫酸盐还原性能比较1

Table 1	Comparison of the perform	nance and energy rec	covery efficiency of the	SRB-biocathode	MES under different a	pplied voltages
tin et E	阳极 COD 土除家	周期由荷量	磁酚卦土除索	SO2 - S2 -	<b>硫酸</b> 卦还 百速 窓	由子同版

外加电压	阳极 COD 去除率	周期电荷量	硫酸盐去除率	SO <sub>4</sub> S <sup>2</sup> -	硫酸盐还原速率	电子回收率
	/%	//C\ //	/%	转化效率/%	$/g \cdot (m^3 \cdot d)^{-1}$	/%
/0.4	77. 2 ± 0. 6e	19. $1 \pm 0.2 d$	$3.2\pm0.5\mathrm{e}$	78. $6 \pm 9$ . $0a$	$7.9 \pm 1.1 d$	$27.6 \pm 3.2c$
VS V 0.5	$23.7 \pm 2.7 d$	$57.4 \pm 1.5 c$	12. $6 \pm 0$ . $6d$	$62.8 \pm 1.5a$	$31.5 \pm 1.1c$	$34.2 \pm 1.1b$
0.6	$28.4 \pm 2.7c$	87. 7 ± 2. 7b	$19.4 \pm 0.4c$	$55.2 \pm 4.3a$	$48.8 \pm 1.1 \mathrm{b}$	$35.7 \pm 1.5b$
0.7	34. 1 ± 1. 3b	134. $8 \pm 5.7a$	30. $7 \pm 2.6b$	60. 6 $\pm$ 0. 6a	$78.9 \pm 3.8a$	$41.8 \pm 2.6a$
0.8	44. 5 ± 1. 4a	152.9 ± 7.1a	27. 5 ± 2. 1a	55. 6 ± 6. 1a	68. $0 \pm 5$ . 1 ab	$31.9\pm3.5\mathrm{bc}$

1)采用单因素方差分析,表中的值为平均值 ± 标准偏差, n=3;不同小写字母表示差异显著(P<0.05),下同

#### 2.3 MES 阴极生物量在不同外加电压下的变化

为了更好地解释生物阴极型 MES 在不同外电 压下的性能,进一步测定了阴极生物膜的胞外聚多 糖和蛋白量并对该数据进行单因素方差分析(表 2). 阴极生物膜的生物量在电压的升高下呈显著增 加的趋势(P<0.05), 0.8 V 和 0.7 V 电压下为 2748.6 μg·cm<sup>-2</sup>和2325.9 μg·cm<sup>-2</sup>,相比于0.4 V (1611.5 μg·cm<sup>-2</sup>)提高了70%和44%. 阴极生物 膜的聚多糖从 0.4 V 的 605.0 μg·cm<sup>-2</sup>提高至 0.7 V的928.6 μg·cm<sup>-2</sup>和 0.8 V的1 185.1 μg·cm<sup>-2</sup>, 相对应地,蛋白量从1006.5 μg·cm<sup>-2</sup>提高至 1 397. 3 μg·cm<sup>-2</sup>和1 563. 5 μg·cm<sup>-2</sup>. 方差分析表 明阴极生物膜的聚多糖在不同外电压间并无显著差 异, 0.7 V 和 0.8 V 电压下的蛋白量显著高于 0.4 V (P<0.05), 阴极生物膜的蛋白量受外电压的影响 较大. 关于生物膜胞外聚合物的研究表明, 聚多糖 在细胞固定以及形成生物膜过程中起到重要作用, 而蛋白量可用于评估生物膜的活性[14,19]. 根据 0.4 V 和 0.8 V 的比较可见, 外电压的升高有利于高活性生物膜的快速形成. Gong 等[25]发现外电压的升高有利于阴极与阳极间的电子传输从而进一步地促进阳极产电生物膜的生长. Sun 等[26]通过提高 MES 外加电压获得较高的电流输出从而探究阳极电活性生物膜对电流的响应,发现输出电流的升高有利于高活性生物膜在阳极表面的生长. 0.8 V 下生物膜的聚多糖(附着)和蛋白量(活性)比 0.7 V 均有所提高,这与 0.8 V 下获得最高的输出电流密度相对应;然而其硫酸盐去除性能却低于 0.7 V,可能是因为 0.8 V 电压下更利于析氢反应,一方面 H<sup>+</sup>离子与 SO<sub>4</sub><sup>2-</sup>竞争电子,另一方面 H<sub>2</sub>被非硫酸盐还原菌用于自身增殖.

**2.4** MES 阴极生物膜群落在不同外加电压下的响应

采用 16S rRNA 基因高通量测序技术对阴极微

生物群落进行多样性分析,结果如表 3 所示.不同外电压下样品的有效序列覆盖度均为 99.9%,表明测序结果的可靠性<sup>[14]</sup>.将获得的有效序列按 97%相似水平进行聚类,所得的 OTUs 分别为 132(0.4 V)、132(0.5 V)、155(0.6 V)、137(0.7 V)和 135(0.8 V). Chaol 指数与 ACE 指数代表着物种的丰

富度, Shannon 指数反映了物种的多样性, 而在 0.8 V 电压下阴极生物膜群落物种丰富度、多样性与 0.4 V、0.5 V 电压下无明显差异, 且略低于 0.6 V 和 0.7 V 的情形. 结果表明, 0.4 ~ 0.8 V 电压范围内阴极微生物群落多样性并未随着电压的升高而发生明显的变化.

表 2 不同外加电压下阴极生物膜多糖和蛋白量

Table 2 Polysaccharose and protein contents of the biocathode under different applied voltages

1415	2 Toryouccinarosc and protein contents	or the procumous under amercia upplic	701111500
外加电压	聚多糖	蛋白量	生物量
/V	/µg•cm <sup>-2</sup>	/µg•cm <sup>-2</sup>	/µg•cm <sup>-2</sup>
0. 4	$605.0 \pm 86.2a$	$1\ 006.5 \pm 30.4c$	$1.611.5 \pm 68.6 d$
0.5	$599.8 \pm 68.3a$	$1\ 258.6 \pm 137.4 \mathrm{b}$	$1.858.4 \pm 178.4c$
0.6	$834.7 \pm 41.4a$	$1319.8\pm120.2\mathrm{b}$	$2.154.5 \pm 92.5b$
0.7	$928.6 \pm 139.2a$	$1397.3\pm 59.1\mathrm{ab}$	$2325.9 \pm 148.2b$
0.8	1 185.1 ± 266.1a	$1563.5 \pm 134.2a$	$2.748.6 \pm 157.7a$

#### 表 3 总体测序结果与 $\alpha$ 多样性指数

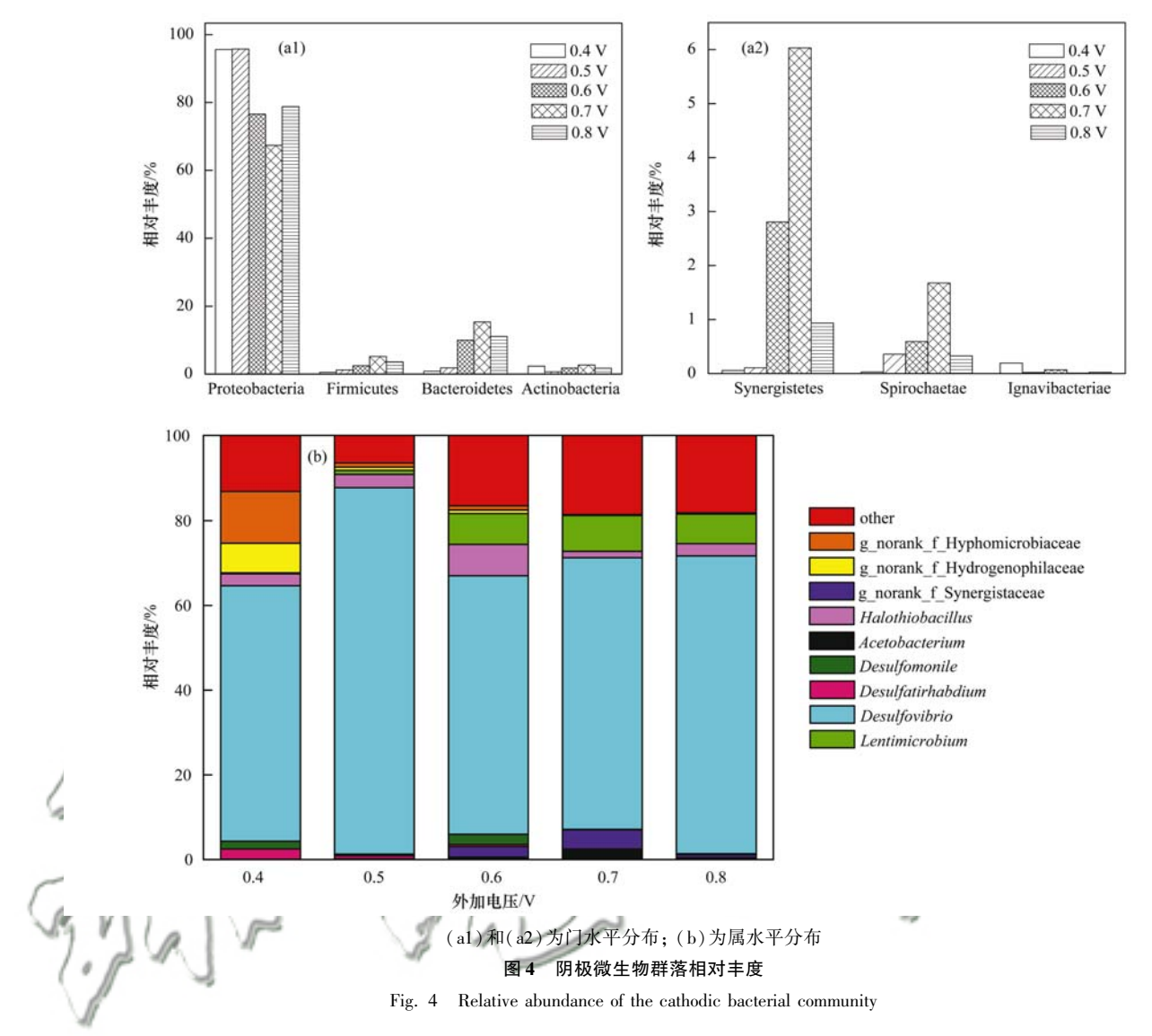
Table 3 Overall pyrosequencing information and  $\alpha$  diversity indices for the bacterial samples

外加电压/V	原始序列数	有效序列数	_		97%相似水平聚类	3/2
7F加电压/ V	が、知力プリ致	有双厅列载	OTUs	Shannon 指数	ACE 指数	Chao1 指数 Coverage 指数
0. 4	36928	31655	132	2. 60	134. 14	138. 00 0. 99
0. 5	34512	31359	132	1.81	140. 40	140. 57 0. 99
0. 6	54479	45718	155	2. 87	160. 80	174. 50 0. 99
0.7	35449	32636	137	2. 68	164. 45	166. 54 0. 99
0.8	35736	31403	135	2. 39	145.35	146. 33 0. 99

不同外电压下 MES 阴极微生物群落门和属水 平的分布如图 4 所示. Proteobacteria 在 MES 阴极生 物膜群落结构的门水平分布中占主导, 其在 0.4、 0.5、0.6、0.7 和 0.8 V 电压下的相对丰度分别为 95.6%、95.7%、76.5%、67.4%和78.8%[图4 (al)]. Proteobacteria 包含许多已知的电化学活性 菌和与硫代谢相关的菌, 因此在硫酸盐还原型生物 阴极占据主导[27]. 生物膜中丰度较高的还包括 Firmicutes 和 Bacteroidetes, 这与已有研究中关于生 物阴极微生物群落的分布情况一致[3,20,28]. Firmicutes 与 Bacteroidetes 的相对丰度随着电压的 上升逐渐升高,在0.7 V 电压下获得最大值分别为 5.1% 和 15.3%, 在 0.8 V 电压下降低至 3.5% 和 11.1%. Firmicutes 包含的一些革兰氏阳性菌, 能够 利用电子介体进行胞外电子转移<sup>[29]</sup>; Bacteroidetes 在阳极生物膜的胞外电子传递过程中拥有独特的优 势[30]. 除此之外, 随外电压升高呈现先上升后下降 趋势的菌群还有 Actinobacteria、Synergistetes 和 Spirochaetae[图 4(a2)],表明随着电压的升高选择 性的富集了一些菌群, 而这些菌群可能在种间电子 传递的过程中起着作用.

Desulfovibrio 在阴极微生物群落属水平分布中占主导, 其在 0.4、0.5、0.6、0.7 和 0.8 V 电压下的相对 丰度分别为 60.3%、86.5%、61.0%、

64.1%和70.3%[图4(b)]. 这与Teng等<sup>[7</sup> 结果相似, 其研究中硫酸盐还原生物阴极表面 Desulfovibrio 的相对丰度为 66%. Desulfovibrio 是一 类典型的电化学活性 SRB, 在许多硫酸盐还原型生 物电化学系统中均检测到该菌的存在. 在本研究 中, Desulfovibrio 的相对丰度并未随着外加电压的升 高发生明显的波动,表明 Desulfovibrio 在利用电极 呼吸代谢方面具有独特的优势且能够应对电势波动 的冲击. 已有研究证实 SRB 能直接从电极获取电子 还原硫酸盐, 无需电子介体或 H, 的存在[4]. 生物 电化学系统中, 阴极电化学活性菌主要通过细胞膜 表面的氧化还原组分如细胞色素 c 从电极直接获取 电子[31]. Lentimicrobium 在 0.6~0.8 V 电压范围内 占据8.5%左右的相对丰度,其可利用糖类物质在 厌氧环境下发酵产氢[32],而阴极微生物细胞凋亡 的过程中可能存在一些糖类物质, 为其提供能源的 同时被转化为 H<sub>2</sub>. Halothiobacillus 在 0.4 ~ 0.8 V 电 压范围内占据2~7%左右的相对丰度,该菌是一类 硫氧化菌,在微氧环境下能够以硫化物作为电子供 体进行化能自养, 该类菌的存在可能会使还原产物 负二价硫氧化为单质硫或是硫酸盐[33,34],这为废 水中硫的回收提供了可能性. 此外, 0.4 V 电压下 选择性地富集了 g\_norank\_f\_Hydrogenophilaceae 与 g\_norank\_f\_Hyphomicrobiaceae, 其相对丰度分别为



7%和12%,据文献报道,这两种菌可利用阴极作为电子供体进行自养生长[35],具体的代谢途径仍需进一步研究. 0.7~V 电压下还发现了 Acetobacterium,已有文献报道 Acetobacterium 可利用阴极作为唯一电子供体将  $CO_2$  转化为乙酸[12],Acetobacterium 和 Desulfovibrio 在生物电化学系统中存在共代谢关系[36],Acetobacterium 有可能通过电合成乙酸的方式促进生物阴极的电子利用和还原硫酸盐的性能.

由于 Desulfovibrio 在 MES 生物阴极占绝对主导地位,其极可能在还原硫酸盐的过程中起着主要作用,因此,对 Desulfovibrio 的种水平结构进行了进一步分析(图 5). 从图 5 中可以看出,尽管外电压引起阴极电势的较大变化,但生物阴极表面始终以 Desulfovibrio magneticus RS-1 和 s\_unclassified\_g\_Desulfovibrio 为主导. 0.4、0.5、0.6、0.7 和 0.8 V电压下 Desulfovibrio magneticus RS-1 的相对丰度分别为 20.4%、58.5%、43.7%、40.2% 和 63.2%;s\_unclassified\_g\_Desulfovibrio 的相对丰度分别为

77.7%、40.6%、51.8%、50.9%和34.1%,二者 的总丰度均大于 90%. 据报道, Desulfovibrio magneticus RS-1 是一种趋磁细菌,可利用可溶性 Fe<sup>2+</sup>在生物体内形成磁性矿物,在磁场的作用下进 行富集[37]. 近期, Zhou 等[38] 通过对生物电化学系 统施加电磁场发现外加的电磁场能够延长放电周 期, 明显提高电流输出, 且有利于电化学活性菌如 Geobacter 的富集. Desulfovibrio magneticus RS-1 的富 集与电磁场之间有可能存在某种关系,后续可对电 磁场作用下 Desulfovibrio magneticus RS-1 的响应机 制进行深入研究. s\_unclassified\_g\_Desulfovibrio 的相 对丰度随电压升高呈现降低趋势, 在外加电压为 0.4 V 下的相对丰度高达 77.7%, 因而推测其具有 直接利用阴极作为电子供体的能力, 但仍有待进一 步研究. Desulfovibrio vulgaris 的相对丰度在 0.7 V 电压下为 5%, 而其余电压下都低于 0.2%. Liamleam 等<sup>[2]</sup> 提出 Desulfovibrio vulgaris 能够以 H<sub>2</sub> 作为电子供体还原硫酸盐,是一种典型的氢营养型 SRB. 此外, Desulfovibrio gigas 在 0.8 V 电压下具有

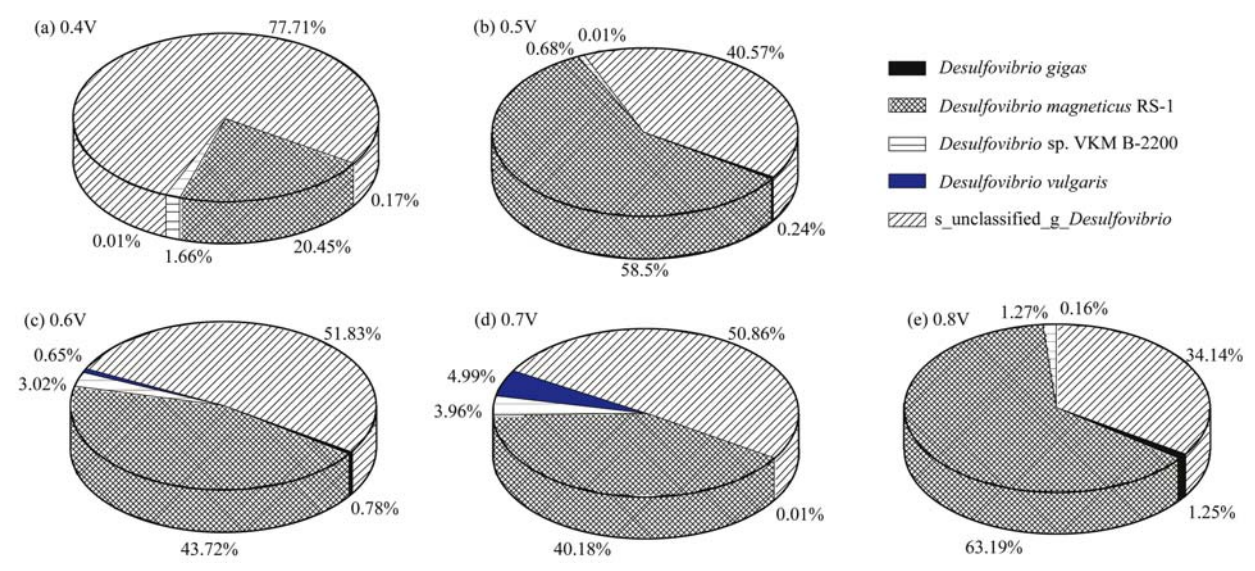


图 5 不同外加电压下脱硫弧菌属在种水平下的分布

Fig. 5 Relative abundance of Desulfovibrio at the species level under different applied voltages

一定的丰度为 1.2%,该菌具有镍铁氢化酶能够催化  $H_2$  的产生  $[^{39}]$ . 结果表明, $0.7 \sim 0.8$  V 外加电压下,由于  $H_2$  析出速度的增加,氢营养型 SRB 开始占据主导,从而影响 MES 生物阴极还原硫酸盐的性能.

#### 3 结论

- (1)外加电压为  $0.4 \sim 0.8 \text{ V}$  时,MES 的输出电流、周期电荷量、COD 去除量与外加电压( $0.4 \sim 0.8 \text{ V}$ )呈正相关关系;硫酸盐还原量随着电压的升高先升高后降低,在 0.7 V 时获得最大硫酸盐还原速率[ $78.9 \text{ g} \cdot (\text{m}^3 \cdot \text{d})^{-1}$ ]和最高  $S^2$ -出水浓度( $31.9 \text{ mg} \cdot \text{L}^{-1} \pm 2.2 \text{ mg} \cdot \text{L}^{-1}$ );MES 的电子回收率均在 30% 左右,在 0.7 V 时获得最高值为 41.8%,,推测产氢可能是电子损失的一个途径.
- (2) 阴极表面生物量在外电压的升高下呈显著增加的趋势, 0.8 V 电压下相比 0.4 V 提高了 70%;阴极微生物群落结构分析发现,Proteobacteria 在门水平分布中占主导,Desulfovibrio 在属水平分布中占主导;Desulfovibrio 的相对丰度并未随着外加电压的升高发生明显的波动,表明 Desulfovibrio 在利用电极呼吸代谢方面具有独特的优势且能够应对电势波动的冲击.

#### 参考文献:

- [1] 相凤欣,任立人,吴丹,等. 生物处理含硫酸盐废水生成单质硫的研究进展[J]. 环境工程, 2012, **30**(S2): 151-155.

  Xiang F X, Ren L R, Wu D, et al. Advances in bio-treatment of sulfate-laden wastewater and conversion to element sulfur[J].
- [2] Liamleam W, Annachhatre A P. Electron donors for biological sulfate reduction [J]. Biotechnology Advances, 2007, 25(5):

Environmental Engineering, 2012, 30(S2): 151-155.

- 452-463
- [ 3 ] Luo H P, Fu S Y, Liu G L, et al. Autotrophic biocathode for high efficient sulfate reduction in microbial electrolysis cells[J]. Bioresource Technology, 2014, 167: 462-468.
- [4] Su W T, Zhang L X, Tao Y, et al. Sulfate reduction with electrons directly derived from electrodes in bioelectrochemical systems[J]. Electrochemistry Communications, 2012, 22: 37-40.
- [5] Blúzquez E, Gabriel D, Baeza J A, et al. Treatment of high-strength sulfate wastewater using an autotrophic biocathode in view of elemental sulfur recovery [J]. Water Research, 2016, 105; 395-405.
- [6] 符诗雨,刘广立,骆海萍,等. 微生物电解系统生物阴极的 硫酸盐还原特性研究[J]. 环境科学,2014,35(2):626-632.
  - Fu S Y, Liu G L, Luo H P, *et al.* Characterization of biocatalysed sulfate reduction in a cathode of microbial electrolysis system[J]. Environmental Science, 2014, **35**(2): 626-632.
- [7] Teng W K, Liu G L, Luo H P, et al. Simultaneous sulfate and zinc removal from acid wastewater using an acidophilic and autotrophic biocathode [J]. Journal of Hazardous materials, 2016, 304: 159-165.
- [8] Zhan G Q, Zhang L X, Li D P, et al. Autotrophic nitrogen removal from ammonium at low applied voltage in a singlecompartment microbial electrolysis cell [J]. Bioresource Technology, 2012, 116: 271-277.
- [9] 周亚,杨春. 生物电化学系统对 4-氯硝基苯的降解[J]. 化工进展, 2018, **37**(1): 375-380.

  Zhou Y, Yang C. Degradation of 4-chloronitrobenzene by bioelectrochemical system [J]. Chemical Industry and Engineering Progress, 2018, **37**(1): 375-380.
- [10] Aulenta F, Reale P, Catervi A, et al. Kinetics of trichloroethene dechlorination and methane formation by a mixed anaerobic culture in a bio-electrochemical system [J]. Electrochimica Acta, 2008, 53(16): 5300-5305.
- [11] Coma M, Puig S, Pous N, et al. Biocatalysed sulphate removal in a BES cathode [J]. Bioresource Technology, 2013, 130; 218-223.
- [12] Xiang Y B, Liu G L, Zhang R D, et al. High-efficient acetate

- production from carbon dioxide using a bioanode microbial electrosynthesis system with bipolar membrane [ J]. Bioresource Technology, 2017, 233: 227-235.
- [13] Ding A Q, Yang Y, Sun G D, et al. Impact of applied voltage on methane generation and microbial activities in an anaerobic microbial electrolysis cell (MEC) [J]. Chemical Engineering Journal, 2016, 283: 260-265.
- [14] Wang K, Sheng Y X, Cao H B, et al. A novel microbial electrolysis cell (MEC) reactor for biological sulfate-rich wastewater treatment using intermittent supply of electric field [J]. Biochemical Engineering Journal, 2017, 125: 10-17.
- [15] Hu J P, Zeng C P, Liu G L, et al. Magnetite nanoparticles accelerate the autotrophic sulfate reduction in biocathode microbial electrolysis cells[J]. Biochemical Engineering Journal, 2018, 133: 96-105.
- [16] Hou Y P, Luo H P, Liu G L, et al. Improved Hydrogen Production in the Microbial Electrolysis Cell by Inhibiting Methanogenesis Using Ultraviolet Irradiation [J]. Environmental Science & Technology, 2014, 48(17): 10482-10488.
- [17] LaBelle E V, Marshall C W, Gilbert J A, et al. Influence of acidic pH on hydrogen and acetate production by an electrosynthetic microbiome [J]. PLoS One, 2014, 9 (10): e109935.
- [18] DuBois M, Gilles K A, Hamilton J K, et al. Colorimetric method for determination of sugars and related substances[J]. Analytical Chemistry, 1956, 28(3): 350-356.
- [19] Zhang X Y, Cheng S A, Wang X, et al. Separator characteristics for increasing performance of microbial fuel cells [J]. Environmental Science & Technology, 2009, 43 (21): 8456-8461.
- [20] Luo H P, Teng W K, Liu G L, et al. Sulfate reduction and microbial community of autotrophic biocathode in response to acidity[J]. Process Biochemistry, 2017, 54: 120-127.
- [21] Logan B E, Hamelers B, Rozendal R, et al. Microbial fuel cells: methodology and technology [J]. Environmental Science & Technology, 2006, 40 (17); 5181-5192.
- [22] Finkelstein D A, Tender L M, Zeikus J G. Effect of electrode potential on electrode-reducing microbiota [J]. Environmental Science & Technology, 2006, 40(22); 6990-6995.
- [23] Liang P, Fan M Z, Cao X X, et al. Evaluation of applied cathode potential to enhance biocathode in microbial fuel cells [J]. Journal of Chemical Technology and Biotechnology, 2009, 84(5): 794-799.
- [24] Rozendal R A, Hamelers H V M, Molenkamp R J, et al.

  Performance of single chamber biocatalyzed electrolysis with
  different types of ion exchange membranes[J]. Water Research,
  2007, 41(9): 1984-1994.
- [25] Gong Y M, Ebrahim A, Feist A M, et al. Sulfide-driven microbial electrosynthesis [ J ]. Environmental Science & Technology, 2013, 47(1): 568-573.
- [26] Sun D, Cheng S A, Zhang F, et al. Current density reversibly alters metabolic spatial structure of exoelectrogenic anode biofilms [J]. Journal of Power Sources, 2017, 356: 566-571.

- [27] Bond D R, Holmes D E, Tender L M, et al. Electrode-reducing microorganisms that harvest energy from marine sediments [J]. Science, 2002, 295(5554): 483-485.
- [28] Wrighton K C, Virdis B, Clauwaert P, et al. Bacterial community structure corresponds to performance during cathodic nitrate reduction [J]. ISME Journal, 2010, 4(11): 1443-1455.
- [29] Xing D F, Cheng S A, Logan B E, et al. Isolation of the exoelectrogenic denitrifying bacterium Comamonas denitrificans based on dilution to extinction [J]. Applied Microbiology and Biotechnology, 2010, 85(5): 1575-1587.
- [30] Ishii S, Suzuki S, Norden-Krichmar T M, et al. Microbial population and functional dynamics associated with surface potential and carbon metabolism [J]. ISME Journal, 2014, 8 (5): 963-978.
- [31] Rosenbaum M, Aulenta F, Villano M, et al. Cathodes as electron donors for microbial metabolism: Which extracellular electron transfer mechanisms are involved? [J]. Bioresource Technology, 2011, 102(1): 324-333.
- [32] Sun L W, Toyonaga M, Ohashi A, et al. Lentimicrobium saccharophilum gen. nov., sp. nov., a strictly anaerobic bacterium representing a new family in the phylum Bacteroidetes, and proposal of Lentimicrobiaceae fam. nov. [J]. International Journal of Systematic and Evolutionary Microbiology, 2016, 66 (7): 2635-2642.
- [33] LaBarge N, Yilmazel Y D, Hong P Y, et al. Effect of preacclimation of granular activated carbon on microbial electrolysis cell startup and performance [J]. Bioelectrochemistry, 2017, 113: 20-25.
- [34] Sorokin D Y, Tourova T P, Muyzer G, et al. Thiohalospira halophila gen. nov., sp. nov. and Thiohalospira alkaliphila sp. nov., novel obligately chemolithoautotrophic, halophilic, sulfur-oxidizing gammaproteobacteria from hypersaline habitats [J]. International Journal of Systematic and Evolutionary Microbiology, 2008, 58(7): 1685-1692.
- [35] Zhang G D, Feng S S, Jiao Y, et al. Cathodic reducing bacteria of dual-chambered microbial fuel cell[J]. International Journal of Hydrogen Energy, 2017, 42(45): 27607-27617.
- [36] Xiang Y B, Liu G L, Zhang R D, et al. Acetate production and electron utilization facilitated by sulfate-reducing bacteria in a microbial electrosynthesis system [J]. Bioresource Technology, 2017, 241: 821-829.
- [37] Byrne M E, Ball D A, Guerquin-Kern J L, et al. Desulfovibrio magneticus RS-1 contains an iron-and phosphorus-rich organelle distinct from its bullet-shaped magnetosomes [J]. Proceedings of the National Academy of Sciences of the United States of America, 2010, 107 (27): 12263-12268.
- [38] Zhou H H, Liu B F, Wang Q S, et al. Pulse electromagnetic fields enhance extracellular electron transfer in magnetic bioelectrochemical systems [J]. Biotechnology for Biofuels, 2017, 10: 238.
- [39] Volbeda A, Charon M H, Piras C, et al. Crystal structure of the nickel-iron hydrogenase from Desulfovibrio gigas [J]. Nature, 1995, 373(6515): 580-587.

### **HUANJING KEXUE**

Environmental Science (monthly)

Vol. 40 No. 1 Jan. 15, 2019

#### **CONTENTS**

Cause and Effect Evaluation of PM <sub>2.5</sub> During Three Red Alerts in Beijing from 2015 to 2016 LU Zhe, WEI Wei, ZHOU Ying, et al.	(	1)
Effects of Emission Reductions of Key Sources on the PM <sub>2.5</sub> Concentrations in the Yangtze River Delta	( ]	11 )
Health Benefit Analyses of the Clean Air Action Plan Implementation in Shanghai	( 2	24 )
Monitoring and Analysis of the Spatio-temporal Change Characteristics of the PM <sub>2.5</sub> Concentration Over Beijing-Tianjin-Hebei and Its Surrounding Regions Based on Remote Sensing	, ,	22 \
Applicability of MODIS C006 Aerosol Products in a Typical Environmental Area of the Beijing-Tianjin-Hebei Region	( 2	33 ) 44 )
Application of Meteorological Factors on the Ozone Pollution in Hong Kong	( 4	44) 55)
Transport Characteristics of PAN and O <sub>3</sub> in the Lower Atmosphere of the Boundary Layer in Tianjin in Summer YAO Qing, MA Zhi-qiang, LIN Wei-li, et al.	( 6	55 ) 67 )
Analysis of Pollution Characteristics and Sources of PM <sub>2,5</sub> Chemical Components in Chengdu in Winter WU Ming, WU Dan, XIA Jun-rong, et al.	( 7	76 )
Transport Pathways and Potential Sources of PM <sub>2,5</sub> During the Winter in Zhengzhou  DUAN Shi-guang, JIANG Nan, YANG Liu-ming, et al.	( 8	
Characteristics and Sources of Water-soluble Organic Carbon/Nitrogen in PM <sub>2,5</sub> During Spring in Changzhou  LI Qing, HUANG Wen-qian, MA Shuai-shuai, et al.	( (	94 )
Pollution Characteristics and Emission Factors of VOCs from Vehicle Emissions in the Tianjin Tunnel	(1)	.04 )
Size Distribution and Carbon Component Characteristics of Atmospheric Particulate Matter from Motor Vehicles	(1	14 )
Conversion Characteristics of Combustible Particles from Coal-fired Flue Gas in WFGD and WESP	(1)	21)
Particle Removal Characteristics of an Ultra-low Emission Coal-fired Power Plant	(1	26)
Spatial and Temporal Distribution Characteristics and Fugitive Dust Emission of Building Sites in Beijing	( 1	35 )
Simultaneous Removal of Polychlorinated Dibenzo-p-dioxins/dibenzofurans, Polychlorinated Biphenyls, and Polychlorinated Naphthalenes From Flues Gases From Coke Gas Burning		
Using Selective Catalytic Reduction Equipment REN Mei-hui, FAN Yun, WANG Sheng, et al.		
Space-Time Characteristics and Environmental Significance of the Stable Isotopes in Precipitation in the Gulang River Basin	( 1	49)
Spatial Distribution and Degradation of CDOM in the Minjiang River in Summer	( 1	57)
Parallel Factor Analysis of Fluorescence Excitation Emission Matrix Spectroscopy of CDOM from the Mid-culture Period of Shrimp Ponds in a Subtropical Estuary  ZHU Ai-ju, SUN Dong-yao, TAN Ji, et al.		
ZHU Ai-ju, SUN Dong-yao, TAN Ji, et al.	( 1	64)
Spectral Characteristics and Sources of Dissolved Organic Matter With Different Relative Molecular Weight from Rainwater From Summer and Autumn in the Zhoucun Reservoir Based on		\
UV-Vis and EEMs ZHOU Shi-lei, ZHANG Yi-ran, HUANG Ting-lin, et al.	( I	72)
Characteristics and Fouling Potential of Dissolved Organic Matter in a Stratified Source Water Reservoir		
Water-Air Interface CO <sub>2</sub> Exchange Flux of Typical Lakes in a Mountainous Area of the Western Chongqing and Their Influencing FactorsLUO Jia-chen, NI Mao-fei, LI Si-yue		
Reconstruction of Water Hyperspectral Remote Sensing Reflectance Based on Sparse Representation and Its Application	( 2	.00 )
Nutrineation Rates and Foliution Characteristics of Sediments with Different Geomorphic Features in the Shiwin Stream, Chaonii Lake basin  LI Ru-zhong, QUE Feng-xiang, XIONG Hong-bin, et al.	( )	11 \
Distribution and Bioavability of Phosphorus in Surface Sediments in Megalopolis: A Case Study of Chengdu	(2	/11 <i>)</i> /10 \
Distribution and Fluxes of Perfluoroalkyl and Polyfluoroalkyl Substances in the Middle Reaches of the Yellow River (Weinan-Zhengzhou Section)	( 2	.1)
LI Qi-lu, CHENG Xiang-hui, ZHAO Zhen, et al.	(2	28 )
Distribution and Sources of Polycyclic Aromatic Hydrocarbons in a Karst Groundwater System in a Strongly Industrial City		
Pollution Characteristic and Risk Assessment of Polycyclic Aromatic Hydrocarbons in the Groundwater of Shen-Fu New City in the Hunhe River Basin	. ( -	,
ZHANG Shi-chao, YAO Hong, XIANG Xin-xin, et al.	(2	48)
Distribution and Risk Assessment of Polycyclic Aromatic Hydrocarbons and Their Derivatives in Wastewater-Receiving Rivers in Beijing FU Lu-jing, LI Yi-bing, QIAO Meng, et al.	( 2	56 )
Influence of the Coagulation Mechanism on the Coagulation Performances Using New Composite Coagulants. Bole of the Baw Water Characteristics		
OU Jiang-dong, XU Hui, XU Jian-kun, et al.	(2	(63)
Indirect Photodegradation of Sulfamethoxazole in Water	(2	.73 )
Fabrication of the Heterojunction Photocatalyst MoS <sub>2</sub> /BiOI and Its Investigation of Its Photocatalytic Reduction and Oxidation Activities		
ZHANG Liang, ZHAO Chao-cheng, GAO Xian-yao, et al.		
Nanoscale Zero-valent Copper-Activated Molecular Oxygen for the Degradation of Enrofloxacin in Water		
Adsorption of Cr( VI) in Water by Maifanite Modified with Different LDHs Coatings	( 3	( 00
Preparation of the Silane Monolayer on Magnetite Nanoparticles and Its Performance with Respect to Phosphate Removal from Water	, _	
XING Ming-chao, XIE Qiang, CHEN Shou-hui, et al.	( 3	10)
Optimization of Dyeing Wastewater Treatment with New Eco-friendly Polysilicate Ferromanganese		
Sulfate Reduction and Microbial Community of Autotrophic Biocathode in Response to Externally Applied Voltage		
Effect of Carbon Sources on the Accumulation of Endogenous Polymers and Denitritation in the O/A-F/F Mode		
Effect of the Influent C/P Ratio on the Nutrient Removal Characteristics of the SNEDPR System		
Effect of Different Sludge Retention Time (SRT) Operations on the Nutrient Removal Characteristics of a SNEDPR System		
Startup and Stabilization of Nitrosation in an Anoxic-aerobic Continuous-flow Reactor with Granules		
Startup Strategies for the SNAD Granular Sludge Process at Low Temperature	(3	76 )
Effect of the Sampling Scale and Number on the Heterogeneity of Soil Respiration in a Mixed Broadleaf-conifer Forest   YAN Jun-xia, SUN Qi, LI Jun-jian, et al.		
Effects of the Crop Rotation on Greenhouse Gases from Flooded Paddy Fields	(3	192 )
Response of the Soil NoO Emission and Ammonia-oxidizing Microorganism Community to the Maize Straw Return with Reducing Fertilizer in Purple Soil		
HUANG Rong, GAO Ming, WANG Ying-yan, et al.	(4	01)
Community Structure of CO2-fixing Soil Bacteria from Different Land Use Types in Karst Areas		
Composition and Predictive Functional Analysis of Rhizosphere Bacterial Communities in Riparian Buffer Strips in the Daniiangkou Reservoir, China		
SUN Feng, TIAN Wei, ZHANG Fei, et al.	(4	21)
Migration and Transformation of Adsorbed Arsenic Mediated by Sulfate Reducing Bacteria	(4	30)
Spatial Distribution and Risk Assessment of Heavy Metal Contamination in Surface Farmland Soil Around a Lead and Zinc Smelter		
WANG Yang-yang, LI Fang-fang, WANG Xiao-yang, et al.	(4	37)
Effect of a Mining and Smelting Plant on the Accumulation of Heavy Metals in Soils in Arid Areas in Xinjiang	g ( 4	45)
Assessment of the Speciation and Pollution of Heavy Metals in Paddy Soils from the Jiulong River Basin	(4	53)
Characteristics of Stable Mercury Isotopic Compositions in the Food Web of the Caohai Lake		
Interaction of Cd and Zn Affecting the Root Morphology and Accumulation of Heavy Metals in Sedum aizoon		
Effects of Different Concentrations of Lanthanum on the Growth and Uptake of Pb by Maize Grown Under Moderate Lead Stress		80)
Distribution and Bioaccumulation Characteristics of Cadmium in Fish Species from the Longjiang River in the Guangxi Autonomous Region		
WANG Jun-neng, ZHAO Xue-min, HU Guo-cheng, et al.		
Influence of Six Digestion Methods on the Determination of Polystyrene Microplastics in Organisms Using the Fluorescence Intensity ZOU Ya-dan, XU Qing-qing, ZHANG Ge, et al.	(4	.96 )
Influence of the Digestion memory of the Determination of the Systems in Englands Council Coun		